

Разработка расчетной модели радиального подшипника скольжения смазываемое расплавом

В.В. Василенко

Ростовский государственный университет путей сообщения

Аннотация: В статье на основе уравнения течения несжимаемой смазочной жидкости, обладающей микрополярными свойствами для случая «тонкого слоя», уравнения неразрывности, Дарси и формулы скорости диссипации энергии для определения функции $\Phi(\theta)$, обусловленный расплавленной поверхностью подшипниковой втулки, покрытой легкоплавким металлическим расплавом несущего асимптотического решения по тепловому параметру K .

С помощью автомодельного решения для нулевого приближения, т.е. без учета расплава легкоплавкого металлического расплава и для первого приближения с учетом легкоплавкого металлического расплава определены поле скоростей и давлений в смазочном и пористых слоях, а также определены основные рабочие характеристики радиального подшипника скольжения.

Дана оценка характерных проницаемости пористого слоя и расплава поверхности подшипниковой втулки, покрытое легкоплавким металлическим расплавом на нагрузочную способность и силу трения.

Ключевые слова: легкоплавкий металлический расплав, проницаемость пористого слоя, смазочный материал, обладающий микрополярными свойствами, подшипник скольжения

Введение

Для увеличения удельной мощности современных двигателей при одновременном росте надежности и долговечности возникает необходимость совершенствования конструкции узлов трения, т.е. обеспечение жидкостному гидродинамическому режиму смазывания.

Одним из путей решения конструктивно-эксплуатационных задач является применение в качестве смазочного материала смазывание расплавом легкоплавкого металлического расплава, покрываемая поверхность подшипниковой втулки [1-8].

В публикации [9] исследована расчетная модель радиального подшипника, смазываемого расплавом с учетом зависимости вязкости смазочного материала от давления. В работе [10-13] рассмотрены расчетные модели радиальных и упорных подшипников скольжения, смазываемых расплавом легкоплавкого металлического расплава, покрытое поверхности

подшипниковой втулки с учетом реологических свойств вязкоупругих и микрополярных смазочных материалов.

Особенностью данной работы является разработка расчетных моделей радиального подшипника скольжения с пористым покрытием шейки вала [14-15] и расплава легкоплавкого металлического покрытия на поверхности подшипниковой втулки с учетом реологических свойств микрополярного смазочного материала, обеспечивающей жидкостный гидродинамический режим трения.

Постановка задачи

Подшипниковая втулка, покрытая легкоплавким металлическим расплавом неподвижна, а вал покрыт пористым слоем, вращается с угловой скоростью Ω . Все тепло, которое выделяется при вращении вала, покрытое пористым слоем, идет на плавление поверхности подшипниковой втулки, покрытой легкоплавким металлическим расплавом.

Подшипниковая втулка с пористым покрытием шейки вала, имеющее полюс в центре вала (рис. 1) уравнение контура вала C_0 , вала с пористым покрытием C_1 , и подшипниковой втулки, покрытой легкоплавким металлическим расплавом C_2 запишется в виде:

$$C_0: r' = r_0 - \tilde{H}; C_1: r' = r_0; C_2: r' = r_1(1+H) + \lambda'f(\theta), \quad (1)$$

где $H = \varepsilon \cos \theta - \frac{1}{2} \varepsilon^2 \sin^2 \theta + \dots$, $\varepsilon = \frac{e}{r_0}$; r_0 – радиус вала с пористым покрытием; r_1 – радиус подшипника, покрытого легкоплавким расплавом; e – эксцентриситет; ε – относительный эксцентриситет; \tilde{H} – толщина пористого слоя; $\lambda'f(\theta)$ – ограниченная функция при $\theta \in [0 \div 2\pi]$ подлежит определению.

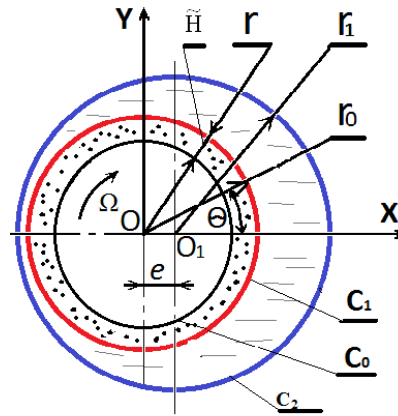


Рис. 1. Расчетная схема

Исходное уравнение - система уравнения движения микрополярного смазочного материала, закон Дарси и уравнения неразрывности:

$$\frac{\partial^2 u'}{\partial r'^2} + N^2 \frac{\partial v'}{\partial r'} = \frac{1}{\mu'} \frac{dp'}{d\theta}, \quad \frac{\partial^2 v'}{\partial r'^2} = \frac{v'}{N_1} + \frac{1}{N_1} \frac{\partial u'}{\partial r'}, \quad \frac{\partial u'}{\partial \theta} + \frac{\partial v'}{\partial r'} = 0.$$

$$\frac{\partial^2 P'}{\partial r'^2} + \frac{1}{r} \frac{\partial P'}{\partial r'} + \frac{1}{r^2} \frac{\partial^2 P'}{\partial \theta^2} = 0 \quad (2)$$

Где P' – давление в пористом слое; $v'_\theta, v'_{r'}$ – составляющие вектора скорости смазочной среды; p' – давление в смазочном слое; μ' – динамический коэффициент вязкости;

Граничные условия в рассматриваемом случае запишется в виде:

$$v'_\theta = 0, \quad v'_{r'} = 0 \quad \text{при} \quad r' = r_1(1+H) + \lambda'f(\theta);$$

$$v'_{r'} = -\frac{k'}{\mu'} \frac{\partial P'}{\partial r'} \quad \text{при} \quad r' = r_0, \quad v'_\theta = \Omega r_0 \quad \text{при} \quad r' = r_0, \quad p' = P' \quad \text{при} \quad r' = r_0;$$

$$\frac{\partial P'}{\partial r'} = 0 \quad \text{при} \quad r' = r_0 - \tilde{H}; \quad p'(0) = p'(2\pi) = \frac{P_g}{P^*}, \quad (3)$$

Для определения $\lambda'f(\theta)$, обусловленный расплавом поверхности подшипниковой втулки, используем формулу скорости диссипаций энергий.

$$\frac{d\lambda'f(\theta)r_0}{d\theta} \cdot \Omega L' = 2\mu' \int_{r_1+\lambda'f(\theta)}^{r_0} \left(\frac{\partial v'_\theta}{\partial r'} \right)^2 dr', \quad (4)$$

Связь между безразмерными и размерными величинами задается в виде:

$$r' = r_1 - \delta r, \quad \delta = r_1 - r_0; \quad v' = \Omega r_0 v; \quad u' = \Omega \delta u; \quad p' = p^* p; \quad p^* = \frac{(2\mu+\kappa)\Omega r_0^2}{2\delta^2}; \quad v' = v;$$

$$\mu' = \mu; \quad \kappa' = \kappa; \quad \gamma' = \gamma; \quad N^2 = \frac{\kappa}{2\mu + \kappa}, \quad N_1 = \frac{2\mu l^2}{\delta^2 \kappa}, \quad l^2 = \frac{\gamma}{4\mu}. \quad (5)$$

Аналогично, в пористом слое: $P' = p^* P, \quad r' = \tilde{H} r^* \quad k' = k^*$ (6)

Систему уравнений (1) и (4), с учетом (3), (5-6), запишем в виде:

$$\frac{\partial^2 u}{\partial r^2} + N^2 \frac{\partial v}{\partial r} = \frac{dp}{d\theta}, \quad \frac{\partial^2 v}{\partial r^2} = \frac{v}{N_1} + \frac{1}{N_1} \frac{\partial u}{\partial r}, \quad \frac{\partial u}{\partial \theta} + \frac{\partial v}{\partial r} = 0.$$

$$\frac{\partial^2 P}{\partial r^{*2}} + \frac{1}{r^*} \frac{\partial P}{\partial r^*} + \frac{1}{r^{*2}} \frac{\partial^2 P}{\partial \theta^2} = 0, \quad \frac{d\Phi(\theta)}{d\theta} = K \int_{1+\eta \cos \theta + \Phi(\theta)}^0 \left(\frac{\partial v}{\partial r} \right)^2 dr, \quad (7)$$

где $K = \frac{2\mu\Omega r_0}{L'\delta}, \quad \eta = \frac{e}{\delta}; \quad \eta_1 = \frac{\lambda'}{\delta}; \quad \Phi(\theta) = \eta_1 f(\theta).$

Для уравнений (7) граничные условия примут следующий вид:

$$u = 0, v = 0, \nu = 0 \text{ при } r = 1 + \eta \cos \theta + \Phi(\theta), \quad \nu(0) = 0 \quad u|_{r=0} = \tilde{M} \frac{\partial P}{\partial r^*} \Big|_{r^* = \frac{r_0}{\tilde{H}}},$$

$$v(0) = 1, p = P \text{ при } r^* = \frac{r_0}{\tilde{H}}, \quad \frac{\partial P}{\partial r^*} \Big|_{r^* = \frac{r_0}{\tilde{H}} - 1} = 0,$$

$$p(0) = p(2\pi) = \frac{p_g}{p^*}$$

где $\tilde{M} = -\frac{k^* r_0^2}{\tilde{H}\delta^3}$ (8)

С учетом малости зазора и $v=0$ в уравнение (7) осредним по толщине смазочного слоя второе уравнение:

$$\frac{1}{h+\Phi} \int_{-\Phi}^h \frac{\partial^2 v}{\partial r^2} dr = \frac{1}{N_1(h+\Phi)} \int_{-\Phi}^h v dr + \frac{1}{N_1(h+\Phi)} \int_{-\Phi}^h \frac{\partial u}{\partial r} dr. \quad (9)$$

Решение (9) ищем в виде:

$$v = A_1(\theta)r^2 + A_2(\theta)r + A_3(\theta). \quad (10)$$

Тогда, с учетом (8) получим:

$$v = A_1(\theta) \cdot (r^2 - (h-\Phi)r - \Phi h). \quad (11)$$

Решение (11) и (9), с точностью до $O\left(\frac{\Phi}{N_1}\right)$, $O\left(\frac{1}{N_1^2}\right)$, запишем в виде:

$$v = \frac{1}{2N_1h}(r^2 - rh), \quad \frac{\partial v}{\partial r} = -\frac{1}{2N_1h}(2r - h), \quad A_1 = \frac{1}{2N_1h}. \quad (12)$$

Тогда уравнение (7) с учетом (12) примет следующий вид:

$$\begin{aligned} \frac{\partial^2 u}{\partial r^2} + \frac{N^2}{2N_1h}(2r - h) = \frac{dp}{d\theta}, \quad v = \frac{1}{2N_1h}(r^2 - rh), \quad \frac{\partial u}{\partial r} + \frac{\partial v}{\partial \theta} = 0, \\ \frac{\partial^2 P}{\partial r^{*2}} + \frac{1}{r^*} \frac{\partial P}{\partial r^*} + \frac{1}{r^{*2}} \frac{\partial^2 P}{\partial \theta^2} = 0, \quad \frac{d\Phi(\theta)}{d\theta} = -K \int_{-\Phi(\theta)}^{h(\theta)} \left(\frac{\partial u}{\partial r} \right)^2 dr. \end{aligned} \quad (13)$$

Функцию $\Phi(\theta)$ будем искать в виде ряда по малому параметру K :

$$\Phi(\theta) = K\Phi_1(\theta) + K^2\Phi_2(\theta) + K^3\Phi_3(\theta) + \dots = H(\theta), \quad (14)$$

На контуре $r = -\Phi(\theta)$ для компонентов скорости u и v граничные условия запишем в виде:

$$v(1 + \eta \cos \theta + H(\theta)) = v(1 + \eta \cos \theta) + \left(\frac{\partial v}{\partial r} \right)_{r=1+\eta \cos \theta} \cdot H(\theta) + \left(\frac{\partial^2 v}{\partial r^2} \right)_{r=1+\eta \cos \theta} \cdot H^2(\theta) - \dots = 0;$$

$$u(1 + \eta \cos \theta + H(\theta)) = u(1 + \eta \cos \theta) + \left(\frac{\partial u}{\partial r} \right)_{r=1+\eta \cos \theta} \cdot H(\theta) - \left(\frac{\partial^2 u}{\partial r^2} \right)_{r=1+\eta \cos \theta} \cdot H^2(\theta) - \dots = 0. \quad (15)$$

Асимптотическое решение (13) с учетом (8) и (15) ищем в виде:

$$\begin{aligned} v &= v_0(r, \theta) + K v_1(r, \theta) + K^2 v_2(r, \theta) + \dots; \\ u &= u_0(r, \theta) + K u_1(r, \theta) + K^2 u_2(r, \theta) + \dots; \\ \Phi(\theta) &= -K \Phi_1(\theta) - K^2 \Phi_2(\theta) - K^3 \Phi_3(\theta) - \dots; \\ p &= p_0 + K p_1(\theta) + K^2 p_2(\theta) + K^3 p_3(\theta) \dots \end{aligned} \quad (16)$$

Подставляя (16) в (13) с учетом (8), получим:

– для нулевого приближения:

$$\frac{\partial^2 u}{\partial r^2} + \frac{N^2}{2N_1 h} (2r - h) = \frac{dp}{d\theta}, \quad \frac{\partial v_0}{\partial r} + \frac{\partial u_0}{\partial \theta} = 0, \quad \frac{\partial^2 P_0}{\partial r^{*2}} + \frac{1}{r^*} \frac{\partial P_0}{\partial r^*} + \frac{1}{r^{*2}} \frac{\partial^2 P_0}{\partial \theta^2} = 0 \quad (17)$$

и граничных условий:

$$\begin{aligned} u_0 = 1, v_0 = 0, v_0 = 1, \quad \text{при } r_0 = 0 \\ v_0 = 0, v_0 = 0, u_0 = 0 \quad \text{при } r = 1 + \eta \cos \theta; \end{aligned} \quad (18)$$

$$u_0(0) = \tilde{M} \left. \frac{\partial P}{\partial r^*} \right|_{r^* = \frac{r_0}{\tilde{H}}}, \quad P_0 = P_0, \quad \text{при } r^* = \frac{r_0}{\tilde{H}}, \quad \left. \frac{\partial P_0}{\partial r^*} \right|_{r^* = \frac{r_0}{\tilde{H}}} = 0,$$

$$p_0(0) = p_0(2\pi) = \frac{P_g}{p^*}$$

– для первого приближения:

$$\begin{aligned} \frac{\partial^2 u_1}{\partial r^2} = \frac{1}{\mu} \frac{dp_1}{d\theta}, \quad \frac{\partial v_1}{\partial r} + \frac{\partial u_1}{\partial \theta} = 0; \quad \frac{\partial^2 P_1}{\partial r^{*2}} + \frac{1}{r^*} \frac{dP_1}{dr^*} + \frac{1}{r^{*2}} \frac{d^2 P_1}{d\theta^2} = 0 \\ \frac{d\Phi_1(\theta)}{d\theta} = K \int_{1+\eta \cos \theta}^0 \left(\frac{\partial u_0}{\partial r} \right)^2 dr \end{aligned} \quad (19)$$

с граничных условий:

$$\begin{aligned} v_1 = 0, v_1 = \left(\frac{\partial u_0}{\partial r} \right)_{r=0} \cdot \Phi_1(\theta); \quad u_1 = \left(\frac{\partial u_0}{\partial r} \right)_{r=0} \cdot \Phi_1(\theta); \\ v_1 = 0, v_1 = 0; \quad u_1 = 0 \quad \text{при } r = 1 + \eta \cos \theta; \end{aligned}$$

$$u_1(0) = \tilde{M} \frac{\partial P}{\partial r^*} \Big|_{r^* = \frac{r_0}{\tilde{H}}} , p_1 = P_1 \text{ при } r^* = \frac{r_0}{\tilde{H}} , \frac{\partial P_1}{\partial r^*} \Big|_{r^* = \frac{r_0}{\tilde{H}}} = 0$$

$$p_1(0) = p_1(2\pi) = 0; \quad K\Phi_1(0) = K\tilde{\alpha}, \quad \Phi(0) = \Phi(2\pi) = \tilde{\alpha}. \quad (20)$$

Для нулевого приближения найдем:

$$\begin{aligned} U_0 &= \frac{\partial \Psi_0}{\partial r} + V_0(r, \theta); & V_0 &= -\frac{\partial \Psi_0}{\partial \theta} + U_0(r, \theta); \\ \Psi_0(r, \theta) &= \tilde{\Psi}_0(\xi); & \xi &= \frac{r}{h(\theta)}; \\ V_0(r, \theta) &= \tilde{v}(\xi); & U_0(r, \theta) &= -\tilde{u}_0(\xi) \cdot h'(\theta); \end{aligned} \quad (21)$$

Подставляя (21) в (17) с учетом (18), имеем:

$$\tilde{\Psi}_0''' = \tilde{C}_2; \quad \tilde{u}_0'' = \tilde{C}_1 - \frac{N^2}{2N_1}(2\xi - 1), \quad \tilde{u}_0'(\xi) + \xi \tilde{v}'(\xi) = 0; \quad \frac{dp_0}{d\theta} = \frac{\tilde{C}_1}{h^2(\theta)} + \frac{\tilde{C}_2}{h^3(\theta)}. \quad (22)$$

и соответственно граничные условия:

$$u_0|_{\xi=0} = \tilde{M} \frac{\partial P}{\partial r^*} \Big|_{r^* = \frac{r_0}{\tilde{H}}} \tilde{\Psi}_0'(0) = 0, \quad \tilde{\Psi}_0'(1) = 0, \quad \tilde{u}_0(1) = 0, \quad \tilde{v}_0(1) = 0; \quad v(0) = 0,$$

$$v(1) = 0, \tilde{u}_0(0) = 0, \quad \tilde{v}_0(0) = 1, \quad \int_0^1 \tilde{v}_0(\xi) d\xi = 0. \quad \frac{\partial P}{\partial r^*} \Big|_{r^* = \frac{r_0}{\tilde{H}}} = 0$$

$$p_0 = P_0 \text{ при } r^* = \frac{r_0}{\tilde{H}} \quad (23)$$

Интегрируя (23), получим:

$$\tilde{\Psi}_0'(\xi) = \frac{\tilde{C}_2}{2}(\xi^2 - \xi); \quad \tilde{u}_0 = \tilde{C}_1 \frac{\xi^2}{2} - \frac{N^2}{2N_1} \left(\frac{\xi^3}{3} - \frac{\xi^2}{2} \right) - \left(\frac{N^2}{12N_1} + \frac{\tilde{C}_1}{2} + 1 \right) \xi + 1; \quad \tilde{C}_1 = 6. \quad (24)$$

Из $p_0(0) = p_0(2\pi) = \frac{P_g}{p^*}$ получим:

$$\tilde{C}_2 = -\tilde{C}_1 \quad (25)$$

Учитывая (25) для давления имеем:

$$p_0 = \tilde{C}_1 \eta \cos \theta + \frac{P_g}{P^*}. \quad (26)$$

Учитывая (26) давление смазочного материала пористого слоя ищем:

$$P(r^*, \theta) = R(r^*) \tilde{C}_1 \eta \sin \theta + \frac{P_g}{P^*}, \quad (27)$$

Подставляя (27) в (13) для $R(r^*)$, имеем:

$$R''(r^*) + \frac{R'}{r^*} - \frac{R}{r^{*2}} = 0 \quad (28)$$

И соответственно граничным условиям

$$\left. \frac{dR}{dr^*} \right|_{r^* = \frac{r_0}{\tilde{H}} - 1} = 0, \quad R\left(\frac{r_0}{\tilde{H}}\right) = 1 \quad (29)$$

Интегрируя уравнения (28) - (29) для функции $R(r^*)$ получим уравнения:

$$R(r^*) = \frac{r_0 \tilde{H} r^*}{2r_0^2 - 2\tilde{H}r_0 + \tilde{H}^2} + \frac{r_0(r_0^2 - 2\tilde{H}r_0 + \tilde{H}^2)}{\tilde{H}(2r_0^2 - 2\tilde{H}r_0 + \tilde{H}^2)r^*} \quad (30)$$

$$\tilde{M} \frac{\partial P}{\partial r^*} \Big|_{r^* = \frac{r_0}{\tilde{H}}} = \int_0^1 \tilde{u}(\xi) d\xi \quad (31)$$

С учетом (31), (27) и (30) для \tilde{C}_1 получаем выражение:

$$\tilde{C}_1 \tilde{M} \eta \sin \theta \left[\frac{r_0 \tilde{H}}{2r_0^2 - 2\tilde{H}r_0 + \tilde{H}^2} - \frac{(r_0^2 - 2\tilde{H}r_0 + \tilde{H}^2) \tilde{H}}{r_0(2r_0^2 - 2\tilde{H}r_0 + \tilde{H}^2)} \right] = \left(-\frac{1}{12} \tilde{C}_1 + \frac{1}{2} \right) \eta \sin \theta \quad (32)$$

Решая уравнение (32) относительно \tilde{C}_1 будем иметь:

$$\tilde{C}_1 = \frac{6r_0(2r_0^2 - 2\tilde{H}r_0 + \tilde{H}^2)}{12\tilde{H}^2 \tilde{M}(r_0 - \tilde{H}) + r_0(2r_0^2 - 2\tilde{H}r_0 + \tilde{H}^2)} \quad (33)$$

тогда p_0 имеем:

$$p_0 = \frac{6r_0(2r_0^2 - 2\tilde{H}r_0 + \tilde{H}^2)}{12\tilde{H}^2 \tilde{M}(r_0 - \tilde{H}) + r_0(2r_0^2 - 2\tilde{H}r_0 + \tilde{H}^2)} \eta \sin \theta + \frac{P_g}{P^*}, \quad (34)$$

Для определения $\Phi_1(\theta)$ с учетом уравнения (24) приходим к следующему уравнению:

$$\frac{d\Phi_1(\theta)}{d\theta} = h(\theta) \int_0^1 \left(\frac{\tilde{\psi}''(\xi)}{h^2(\theta)} + \frac{\tilde{v}'(\xi)}{h(\theta)} \right)^2 d\xi. \quad (35)$$

Интегрируем уравнению (35), получим:

$$\Phi_1(\theta) = \int_0^\theta \frac{\Delta_1 d\theta}{h^3(\theta)} + \int_0^\theta \frac{\Delta_2 d\theta}{h^2(\theta)} + \int_0^\theta \frac{\Delta_3 d\theta}{h(\theta)}, \quad (36)$$

где

$$\Delta_1 = \int_0^1 (\tilde{\psi}''(\xi))^2 d\xi = \frac{\tilde{C}_2^2}{12}; \quad \Delta_2 = \int_0^1 2\tilde{\psi}''(\xi) \cdot \tilde{v}'(\xi) d\xi = \frac{1}{6} \tilde{C}_1 \tilde{C}_2; \quad (37)$$

$$\Delta_3 = \int_0^1 (\tilde{v}'(\xi))^2 d\xi = 4 + \frac{N^4}{720N_1^2}.$$

Решение уравнений (36)–(37) с учетом $K\Phi_1(0) = K\tilde{\alpha}$:

$$\Phi_1(\theta) = \frac{2}{\sqrt{1-\eta^2}} \operatorname{arctg} \left(\sqrt{\frac{1+\eta}{1-\eta}} \operatorname{tg} \frac{\theta}{2} \right) \left(\frac{\tilde{C}_1^2}{12} \frac{-5-4\eta+4\eta^2}{(1-\eta^2)^2} + \frac{\tilde{C}_1^2(1-3\eta)}{6(1-\eta^2)} + 4 + \frac{N^4}{720N_1^2} \right) + \frac{\operatorname{tg} \frac{\theta}{2}}{(1-\eta) \operatorname{tg}^2 \frac{\theta}{2} + 1 + \eta} \left[\frac{\tilde{C}_1}{12} \frac{-28-31\eta+9\eta^2}{4(1-\eta^2)} + \frac{\tilde{C}_1^2}{6} \frac{1-3\eta}{1-\eta^2} \right] + \frac{\tilde{C}_1^2(-4-5\eta+3\eta^2)}{24(1-\eta^2)(1-\eta)} \frac{\operatorname{tg} \frac{\theta}{2}}{\left((1-\eta) \operatorname{tg}^2 \frac{\theta}{2} + 1 + \eta \right)^2} + \tilde{\alpha}. \quad (38)$$

Для первого приближения точное автомодельное решение:

$$v_1 = -\frac{\partial \psi_1}{\partial r} + V_1(r, \theta); \quad u_1 = \frac{\partial \psi_1}{\partial \theta} + U_1(r, \theta);$$

$$\psi_1(r, \theta) = \tilde{\psi}_1(\xi); \quad \xi = \frac{r}{h(\theta)}; \quad (39)$$

$$V_1(r, \theta) = \tilde{v}(\xi); \quad U_1(r, \theta) = -\tilde{u}_1(\xi) \cdot h'(\theta);$$

Подставим (39) в (19) с учетом (20), имеем следующие уравнение:

$$\tilde{\psi}_1''' = \tilde{C}_2; \quad \tilde{u}_1'' = \tilde{C}_1; \quad \tilde{u}_1'(\xi) + \xi \tilde{v}_1'(\xi) = 0; \quad \frac{dp_1}{d\theta} = \frac{\tilde{C}_1}{h^2(\theta)} + \frac{\tilde{C}_2}{h^3(\theta)}. \quad (40)$$

и условия:

$$v_1(0) = 0, \quad \tilde{\psi}_1'(0) = 0, \quad \tilde{\psi}_1'(1) = 0, \quad \tilde{v}_1(1) = 0, \quad \tilde{v}_1(0) = 0; \quad \left. \frac{\partial P_1}{\partial r} \right|_{r^* = \frac{r_0}{\tilde{H}} - 1} = 0$$

$$v_1(0) = 0, u_1|_{\xi=0} = \tilde{M} \frac{\partial P_1}{\partial r^*} \Big|_{r^* = \frac{r_0}{\tilde{H}}} p_1 = P_1 \text{ при } r^* = \frac{r_0}{\tilde{H}} \quad \tilde{u}_1(0) = M, \quad \int_0^1 \tilde{u}_1(\xi) d\xi = 0. \quad (41)$$

Интегрируя (41), получим:

$$\tilde{\psi}'_1(\xi) = \frac{\tilde{C}_2}{2}(\xi^2 - \xi), \quad \tilde{u}_1(\xi) = \tilde{C}_1 \frac{\xi^2}{2} - \left(\frac{\tilde{C}_1}{2} + M \right) \xi + M, \quad (42)$$

Из $p_1(0) = p_1(2\pi) = 0$ получим:

$$\tilde{C}_2 = -M \tilde{C}_1, \quad (43)$$

где

$$M = \sup_{\theta \in [0; 2\pi]} \frac{\partial u_0}{\partial r} \Big|_{r=0} \cdot \Phi_1(\theta) = \sup_{\theta \in [0; 2\pi]} \left[\left(\frac{-\tilde{C}_1 + 1}{12} + \frac{1}{2} + \frac{N^2}{4N_1} (1 + \eta \cos \theta) - \frac{1}{\mu} \tilde{C}_1 \eta \sin \theta \frac{1 + \eta \cos \theta}{2} \right) \times \right. \\ \left. \left[\frac{2}{\sqrt{1 - \eta^2}} \arctg \left(\sqrt{\frac{1 + \eta}{1 - \eta}} \operatorname{tg} \frac{\theta}{2} \right) \left(\frac{\tilde{C}_1^2 - 5 - 4\eta + 4\eta^2}{12(1 - \eta^2)^2} + \frac{\tilde{C}_1^2(1 - 3\eta)}{6(1 - \eta^2)} + 4 + \frac{N^4}{720N_1^2} \right) + \right. \right. \\ \left. \left. + \frac{\operatorname{tg} \frac{\theta}{2}}{(1 - \eta) \operatorname{tg}^2 \frac{\theta}{2} + 1 + \eta} \left[\frac{\tilde{C}_1 - 28 - 31\eta + 9\eta^2}{12 \cdot 4(1 - \eta^2)} + \frac{\tilde{C}_1^2(1 - 3\eta)}{6(1 - \eta^2)} \right] + \frac{\tilde{C}_1^2(-4 - 5\eta + 3\eta^2)}{24(1 - \eta^2)(1 - \eta)} \frac{\operatorname{tg} \frac{\theta}{2}}{\left((1 - \eta) \operatorname{tg}^2 \frac{\theta}{2} + 1 + \eta \right)^2} + \tilde{\alpha} \right] \right]$$

С учетом (43) получим:

$$p_1 = \frac{6Mr_0(2r_0^2 - 2\tilde{H}r_0 + \tilde{H}^2)}{12\tilde{H}^2\tilde{M}(r_0 - \tilde{H}) + r_0(2r_0^2 - 2\tilde{H}r_0 + \tilde{H}^2)} \eta \sin \theta \quad (44)$$

Переходим к определению рабочих характеристик подшипника.

Учитывая (12), (14), (34) и (44) для силы трения и составляющей вектора поддерживающей силы, имеем:

$$R_y = \frac{\mu \Omega r_0^3}{\delta^2} \int_0^{2\pi} \left(p_0 - \frac{P_g}{P^*} + K p_1 \right) \sin \theta d\theta = \frac{(2\mu + k) \Omega r_0^3 \eta}{2\delta^2} \frac{Mr_0(2r_0^2 - 2\tilde{H}r_0 + \tilde{H}^2)}{12\tilde{H}^2\tilde{M}(r_0 - \tilde{H}) + r_0(2r_0^2 - 2\tilde{H}r_0 + \tilde{H}^2)}; \\ R_x = \frac{\mu \Omega r_0^3}{\delta^2} \int_0^{2\pi} \left(p_0 - \frac{P_g}{P^*} + K(p_1) \right) \cos \theta d\theta = 0.$$

$$L_{\text{тр}} = \int_0^{2\pi} \left[\frac{\partial u_0}{\partial r} \Big|_{r=0} + K \frac{\partial u_1}{\partial r} \Big|_{r=0} \right] d\theta = \frac{(2\mu + k)\Omega r_0^3}{\delta} \left[\frac{-\pi \left(\frac{\tilde{C}_1}{6} - 1 \right)}{\sqrt{1 - \eta^2}} (1 + KM) + \frac{N^2 \pi}{4N_1} \right]. \quad (45)$$

Для численных расчетов использованы следующие значения:

$$\mu = 0,0608 \text{ Нс/м}^2; \quad \eta = 0,3 \dots 1 \text{ м}; \quad r_0 = 0,019985 \dots 0,04993 \text{ м};$$

$$\delta = 0,05 \cdot 10^{-3} \dots 0,07 \cdot 10^{-3}; \quad K = 0,0000022 \dots 0,00052;$$

$$L' = 3,9 \cdot 10^5 \text{ Н/м}^2; \quad M = 0,16 \dots 25,6; \quad \Omega = 100 \dots 1800 \text{ с}^{-1}.$$

Графики основных рабочих характеристик (составляющей вектора поддерживающей силы и силы трения) представлены на рис. 2 – 4:

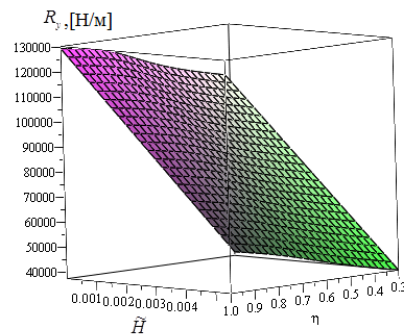


Рис. 2 - Зависимость компонент поддерживающей силы (R_y) от толщины пористого слоя \tilde{H} и конструктивного параметра η

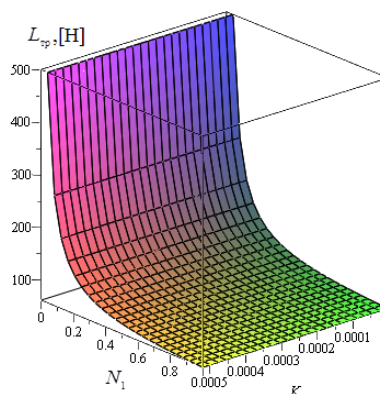


Рис. 3 - Зависимость силы трения от параметра K , обусловленного расплавом и параметра N_1 , характеризующего размер молекул микрополярного смазочного материала

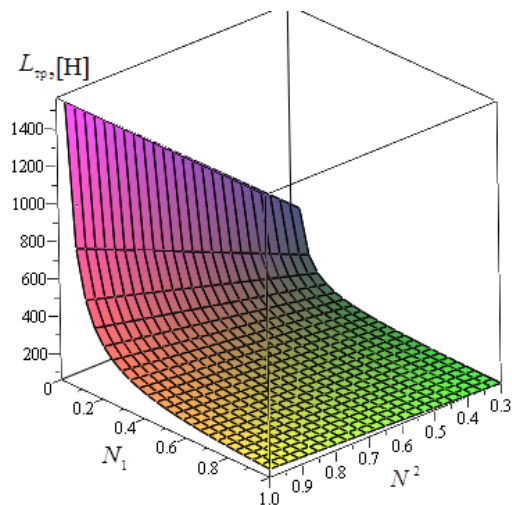


Рис. 4 - Зависимость силы трения от параметра N_1 , характеризующего размер молекул смазочного материала и N^2 - параметра связи.

Выводы

1. Получены уточненные расчетные модели радиальных подшипников скольжения, работающих в условиях жидкого гидродинамического режима смазывания расплавом легкоплавкого покрытия и пористым покрытием шейки вала.

2. Показан значительный вклад конструктивных параметров K , обусловленного расплавом, N_1 - характеризующего размер молекул микрополярного смазочного материала, N^2 - параметра связи. С увеличением конструктивного параметра K (при $K = 0$ и $K \neq 0$) коэффициент трения уменьшается на 60 %, а несущая способность увеличивается на 20 %.

Зависимость коэффициента трения от конструктивного параметра K , обусловленного расплавом, близкая линейной в пределах 0,0009–0,0035.

Литература

1. Прокопьев, В.Н. Динамика сложнагруженного подшипника, смазываемого неньютоновской жидкостью / В.Н. Прокопьев, А.К. Бояршинова, Е.А. Задорожная // Проблемы машиностроения и надежности машин. – 2005. – № 6. – С. 108–114.

2. Прокопьев В.Н., Задорожная Е.А., Караваев В.Г., Леанов И.Г. Совершенствование методики расчета сложнагруженных подшипников скольжения, смазываемых неньютоновскими маслами// Проблемы машиностроения и надежности машин. – 2010. – № 1. – С. 63–67.

3. Дерлугян Ф.П. Обоснование процесса получения композиционных антифрикционных самосмазывающихся материалов с заданными техническими характеристиками методом химического наноконструирования // Инженерный вестник Дона, 2010, №4 URL: ivdon.ru/magazine/archive/n4y2010/287/.

4. Ахвердиев К.С. Расчетная модель гидродинамической смазки неоднородного пористого подшипника конечной длины, работающего в устойчивом нестационарном режиме трения при наличии принудительной подачи смазки // Инженерный вестник Дона, 2013, №3 URL: ivdon.ru/magazine/archive/n3y2013/1765/.

5. Беретта Н. Подшипники скольжения, смазываемые собственным расплавом или продуктом сублимации / Беретта, Ниро, Сильвестри // Труды Амер. о-ва инж.-мех. – 1992. – № 1. – С. 86–90.

6. Приходько В.М., Котельницкая Л.И. Математическая модель гидродинамической смазки при плавлении опорной поверхности радиального подшипника // Трение и износ. – 2001. – Т. 22, № 6. – С. 606–608.

7. Ахвердиев К.С., Мукутадзе М.А., Лагунова Е.О., Василенко В.В. Гидродинамический расчет радиального подшипника, смазываемого

расплавом легкоплавкого покрытия при наличии смазочного материала// Вестник РГУПС. – 2017. – №2 (66). – С. 129-135.

8. Василенко В.В., Лагунова Е.О., Мукутадзе М.А. Гидродинамический расчет радиального подшипника, смазываемого расплавом легкоплавкого покрытия при наличии смазочного материала // Интернет-журнал «НАУКОВЕДЕНИЕ» Том 9, №5 (2017)
URL://naukovedenie.ru/PDF/20TVN517.pdf

9. Ахвердиев К.С., Лагунова Е.О., Василенко В.В. Расчетная модель радиального подшипника, смазываемого расплавом, с учетом зависимости вязкости от давления // Вестник ДГТУ. – 2017. – №3 (90). – С. 27-37.

10. Lagunova, E.O. Wedge-Shaped Sliding Supports Operating on Viscoelastic Lubricant Material Due to the Melt, Taking Into Account the Dependence of Viscosity and Shear Modulus on Pressure // International Journal of Applied Engineering Research ISSN 0973-4562 Volume 12, Number 19 (2017) pp. 9120-9127.

11. Lagunova, E.O. Radial Plain Bearings Operating on Viscoelastic Lubricant Caused by the Melt, Taking into Account the Dependence of the Viscosity of the Lubricant and the Shear Modulus on the Pressure // International Journal of Applied Engineering Research ISSN 0973-4562 Volume 12, Number 19 (2017) pp. 9128-9137.

12. Vasilenko V.V., Lagunova E.O., Mukutadze M.A., Prikhodko V.M. Calculation Model of the Radial Bearing, Caused by the Melt, Taking into Account the Dependence of Viscosity on Pressure// International Journal of Applied Engineering Research ISSN 0973-4562 Volume 12, Number 19 (2017) pp. 9138-9148.

13. Ахвердиев К.С., Мукутадзе М.А., Лагунова Е.О., Василенко В.В. Клиновидные опоры скольжения, работающие на микрополярном смазочном

материале, обусловленные расплавом // Вестник РГУПС. – 2017. – №3 (67). – С. 8-15.

14. Akhverdiev K.S., Mukutadze M.A., Mukutadze A.M. Radial bearing with porous barrel // Proceedings of Academic World : International Conference, 28th of March, 2016, San Francisco, USA. – IRAG Research Forum : Institute of Research and Journals, 2016. – pp. 28–31.

15. Mukutadze M.A. Radial bearing with porous Elements // Procedia Engineering 150, 2016. – pp. 559-570.

References

1. Prokop'ev V.N. Problemy mashinostroeniya i nadezhnosti mashin, 2005, № 6, pp. 108– 114.

2. Prokop'ev V.N., Zadorozhnaya E.A., Karavaev V.G., Leanov I.G. Problemy mashinostroeniya i nadezhnosti mashin, 2010, № 1, pp. 63– 67.

3. Derlugjan F.P. Inzhenernyj vestnik Dona (Rus), 2010, №4. URL: ivdon.ru/magazine/archive/n4y2010/287/.

4. Ahverdiev K.S. Inzhenernyj vestnik Dona, (Rus), 2013, №3. URL: ivdon.ru/magazine/archive/n3y2013/1765/.

5. Beretta N. Trudy Amer. o-va inzh.-meh, 1992, № 1, pp. 86–90.

6. Prihod'ko V.M. Trenie i iznos, 2001, T. 22, № 6, pp. 606–608.

7. Akhverdiev K.S., Mukutadze M.A., Lagunova E.O., Vasilenko V.V. Vestnik RGUPS, 2017, №2 (66), pp. 129-135.

8. Vasilenko V.V. Internet-zhurnal «NAUKOVEDENIE» Tom 9, №5 (2017) URL: naukovedenie.ru/PDF/20TVN517.pdf

9. Ahverdiev, K.S. Vestnik DGTU, 2017, №3 (90), pp. 27-37.

10. Lagunova E.O. International Journal of Applied Engineering Research ISSN 0973-4562 Volume 12, Number 19 (2017) pp. 9120-9127.

11. Lagunova E.O. International Journal of Applied Engineering Research ISSN 0973-4562 Volume 12, Number 19 (2017), pp. 9128-9137.



12. Vasilenko V.V., Lagunova E.O., Mukutadze M.A., Prihodko V.M. International Journal of Applied Engineering Research ISSN 0973-4562 Volume 12, Number 19 (2017), pp. 9138-9148.

13. Akhverdiev K.S., Mukutadze M.A., Lagunova E.O., Vasilenko V.V. Vestnik RGUPS, 2017, №3 (67), pp. 8-15.

14. Akhverdiev K.S. Proceedings of Academic World: International Conference, 28th of March, 2016, San Francisco, USA. IRAG Research Forum: Institute of Research and Journals, 2016, pp. 28–31.

15. Mukutadze M.A. Procedia Engineering 150, 2016, pp. 559-570.